

(57) 動的相互作用を考慮した堤体の安定性評価手法の検討

建設省土木研究所 正会員 大日尚己
正会員 岩崎 敏男

1. まえがき

近年堤防に近接して各種構造物が設置されることが多くなっており、これらの構造物の設置が堤体に及ぼす影響を把握しておくことが重要となる。本報告は、堤防に近接して構造物が設置された場合における地震時の堤体の全体的な安定性評価手法を検討したものである。堤体等の土構造物と他の構造物の動的相互作用を考慮した地震応答解析では、一般にFEM(FLUSHなど)を用い、盛土の各点で生じる応力を計算し、また堤体内せん断応力と抵抗力を比較して崩壊安全率を求めていた。しかし、この手法では堤体の全体的な安定性を評価することはできなかった。そこで本文においてはFLUSHで計算される堤体内部の応力分布を基に滑り面を設定し、そのすべり面に生じているせん断応力とその面における抵抗力の比により安全率を計算する方法について検討した。表-1に既往の堤体安定解析方法を示す。

表-1 既往の堤体安定解析方法の分類

| 安全性の評価方法 | すべり安全率 | 局所安全率 | 変形量 |
|---|--|--|-----|
| 盛土に作用する地震力を考慮した土塊の力のつり合いのみを検討する方法 | 地震動に対して盛土の各点で生じるせん断応力と抵抗力とを比較する方法 | 地震による繰り返し応力に基づく盛土の変位を検討する方法 | |
| すべりを誘発する力として重力のほかに土塊に作用する慣性力を考慮したり、地震応答解析を行ってすべり面に作用する滑動力を考慮する。 | 動的解析により地震時の堤体内部の加速度分布、応力分布および変形などの計算、 堤体内部の応力と材料のせん断抵抗力の比較による局所安全率の計算 | 盛土にすべり、沈下などが生じたとき与えられた地震力のもとでの程度の変位を起こすか検討 | |
| 慣用法 石原の方法 FEMのすべり | Seedの方法 応力分布 | 石原の方法 NEW MARKの方法 渡辺の方法 Makdisi Seed | |

2. 解析方法

今回試みた解析手法のフローチャートを図-1に示す。

2.1 常時応力解析および地震応答解析

常時応力解析は2次元のFEMを用い、地震応答解析はFLUSHと呼ばれているプログラムを使用して計算を行う。

2.2 応力の重ね合せ

地震応答解析により得られる応力は、地震時に発生する応力増分だけであるから、地震時に働く応力を推定するには、これに常時の応力を重ね合わせる必要がある。

今ここで、 σ_{xs} , σ_{ys} , τ_{xy} を重ね合せた後の各時刻の応力、 σ_{xd} , σ_{yd} , τ_{xyd} を常時で働いている応力、 σ_{xs} , σ_{ys} , τ_{xy} を地震時での各時刻の応力とすると

$$\sigma_x(t) = \sigma_{xs} + \sigma_{xd}(t)$$

$$\sigma_y(t) = \sigma_{ys} + \sigma_{yd}(t)$$

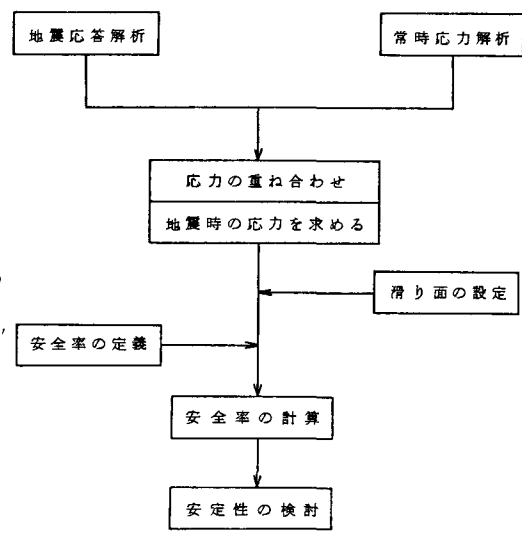


図-1 解析方法のフローチャート

$\tau_{xy}(t) = \tau_{xys} + \tau_{xyd}(t)$
なる関係で表現できる。また、重ね合せの方法には次の2種類
がある。

① 各要素の最大せん断応力発生時($t_i \neq t_j$)

$$\tau_{max} = \sqrt{\frac{(\sigma_x - \sigma_y)^2}{4} + \tau_{xy}}$$

すなわち、各々の要素で τ_{max} の発生する時刻が異なる。

② ある任意の時刻を設定して、同一時刻での応力を用いる。

例えば、入力波形(入力地震波)のピーク時刻又はある点
の最大応答変位を示す時刻等が用いられる。

ここでは、あるすべり線に沿うせん断力と (b)

せん断抵抗力との比が問題となる事から、②の
方法を採用した。

2.3 すべり面の設定

すべり面は円弧と仮定し、通常のフェレニウス法等と同様の方法、すなわち任意の格子点から円弧の半径を増減させて行く方法によて円弧を設定した。

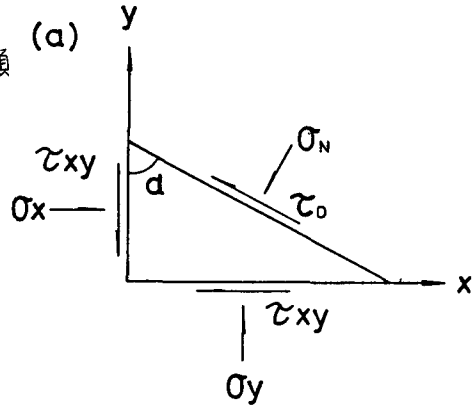
2.4 計算の流れ

例えば、図-2 (b) の円弧を今設定したと
すると、この円弧が各々の要素で分割され
るが、これを l_1, l_2, \dots, l_n とする。

また、円弧が通る各々の要素を e_1, e_2, \dots, e_n とする。図-2 (a) に示した様に、
重ね合せた応力 $\sigma_x, \sigma_y, \tau_{xy}$ を基に
各々の要素でのすべり面上でのせん断応力
 τ_d 、直応力 σ_n を求める。用いる式は(1),
(2)に示した。各々の要素ですべり面上に働く
せん断応力 τ_d とその土の持つせん断抵抗
応力 τ_r (式 (1) 参照)との比で安全率を定義した。ただし、各々の弧の長さを重みづけとして掛け合わせ、
せん断力とせん断抵抗力の各々の比ですべり面上に沿う安全率を定義した。ここでせん断抵抗応力はモール・クーロンの破壊規律に従うものと仮定した。このようにして、1つのすべり面に沿う安全率が求められる。次に半径の増減、格子点の移動を繰り返して、各々の格子点での最小安全率を求める。

3. 解析例

解析は、堤防に近接してトンネルが設置された図-3 に示すようなケースについて行った。地質状況を図-4 に示すが、土質調査データとしては N 値しか得られていないが、そこで、静的・動的地盤定数は N 値からの経験式により求めた。地震動入力に当たっては、基盤面とトンネルの底面がかなり近接しているため、地盤入力面はさらに $7m$ 程度深く設定し、基盤面において $150 gal$ の加速度になるように正規化した波形を用いた。解析断面としてはトンネルなしおよびトンネルあり(高さより $10m$)の2断面とし、堤内地側と堤外地側の斜面の安定性について検討した。



(b)

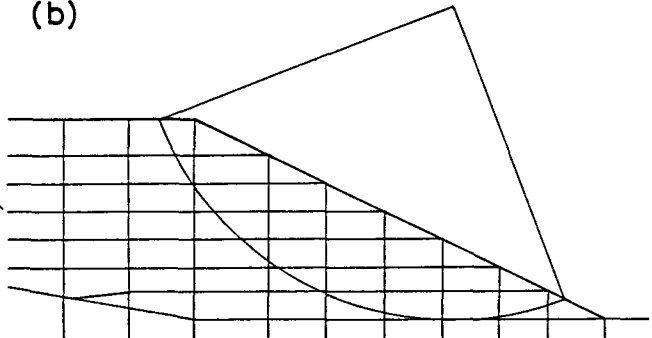


図-2 計算方法の模式図

$$\sigma_n = \sigma_x \cos^2 d + \sigma_y \sin^2 d + 2\tau_{xy} \cos d \cdot \sin d \quad \dots \dots \dots (1)$$

$$\tau_d = (\sigma_y - \sigma_x) \cos d \cdot \sin d + \tau_{xy} (\cos^2 d - \sin^2 d) \quad \dots \dots \dots (2)$$

$$\tau_r = C + \sigma_n \tan \phi \quad \dots \dots \dots (3)$$

$$Fs = \frac{\sum \tau_r \cdot l}{\sum \tau_d \cdot l} \quad \dots \dots \dots (4)$$

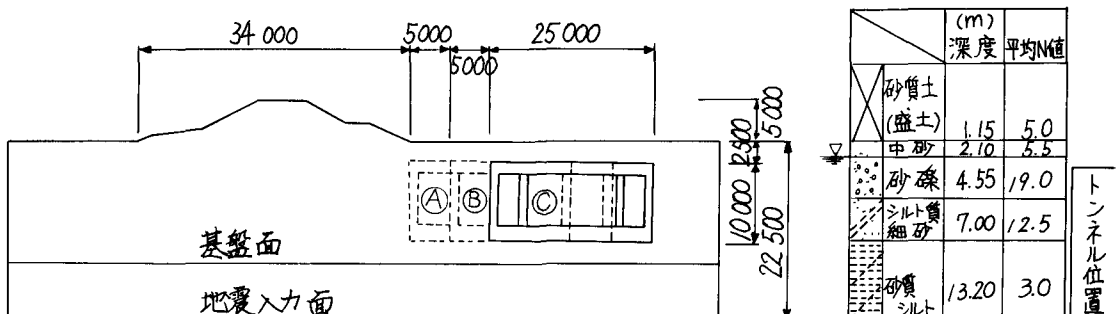


図-3 調査位置横断面図

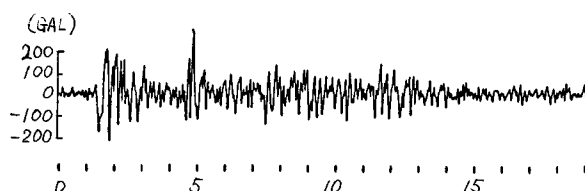


図-5 入力地震動の波形

解析に先立、て常時応力と地震時の増加応力を重ね合せを行う時刻を決定する必要がある。まず、入力地震波のピーク値の時間を探ったのが、表-2である。断面に向、て右から左へ動くとするせん断力が働いている時刻はT=1.60秒である事がわかる。これと逆向きに働いている時刻はT=1.81秒とT=4.59秒があるが、後者は單に1ピークがあるにすぎず、相対差で言えばT=1.81秒の方が渡時間の変動量が大きいためこちらを採用した。

また、堤体右法肩における応答変位のピーク値を表-3に示した。これからもT=1.60、T=1.81の時刻を採用する方が適切であると言え、この時刻により応力の重ね合せを行った。

解析方一式および解析結果を表-4に示す。また、この結果の断面ごとのすべり面を示したのが図-6、図-7である。これらの結果から次の事が言える。

- ① 地震時の安全率が4ケース共に1.1以上ある。
 - ② トンネルありのケースにおけるトンネル例を除けば、円弧が長く24m以上となる。これは地表面から3層目に属厚約2.5m程度の砂礫層(No.19)があり、これ以下に比較的軟かい砂質シルト(No.3)等が約7m弱堆積しているからである。
 - ③ トンネルが入る事によって、堤外地側ではF_{1S}が大きく、堤内地側ではF_{2S}が小さくなっているのが分る。これは堤内地側においてはトンネルが押え盛土の役目を果していると考えられる。堤外地側については半径Rが全く同じであるが、トンネルが入ることによりせん断力が増加し、せん断抵抗力が減少したためであろう。
- また、静的解析法であるフェニウス法による解析結果を表-5に示す。ここでは入力加速度の関係でNo.2,

表-2 最大加速度のピーク (入力波)

| PEAK TIME (SEC) | PEAK VALUE (gal) |
|-----------------|------------------|
| 1.470 | 103.235 |
| 1.600 | -109.904 |
| 1.810 | 108.508 |
| 4.590 | 123.678 |

(入力波形の100 gal以上)

表-3 最大変位のピーク (応答値)

| PEAK TIME (SEC) | PEAK VALUE (cm) |
|-----------------|-----------------|
| 1.370 | 0.610 |
| 1.590 | -0.999 |
| 1.800 | 0.613 |
| 2.020 | -0.576 |
| 4.680 | -0.606 |
| 4.920 | 0.621 |
| 5.140 | -0.607 |
| 8.990 | 0.542 |
| 1.2260 | 0.532 |
| 1.2490 | -0.523 |

(トンネルなしのケースで盛土天端変位 0.5cm以上)

No.5, No.8と比較

検討して、以下のことがわかった。

④ トンネルなしの堤内地側では安全率で約0.5

フェレニウス法

の方が小さい。しかし、堤外地側ではほとんど差は見られない。

⑤ トンネルが入ることにより堤内地側では、フェレニウス法および今回のFEMを用いた解析ともFSで0.48の増加を示している。

3.まとめ

FEM解析で得られた応力を基にして地震時の安定性解析を行った結果は次のようにまとめられる。

① フェレニウス法に比べると、この手法で求めたすべり面に沿う安全率は一般に小さくなる傾向がある。

② 堤体と構造物の相互作用が考慮でき、結果からもこの手法が妥当と言える。

また、今後の問題点としては以下のことが考えられる。

- ① 静的・動的せん断抵抗力の求め方について検証されていない。
- ② 本手法においては過剰間隙水圧の問題が考慮されていない。
- ③ 本手法では堤体内に生じているせん断応力のピーク値を用いており、地震時の繰り返えしの効果が考慮されていない。

〈参考文献〉

中村他 「盛土の地震時安定解析における一つの試み」 第17回 土質工学研究発表会 1982.6.

表-4 解析結果

| 解析番号 | 断面 | | 時刻 (SEC) | R (m) | F _s |
|------|--------|---|----------|--------|----------------|
| ① | トンネルなし | 右 | 1.81 | 28.929 | 1.772 |
| ② | 〃 | 左 | 1.60 | 24.334 | 1.281 |
| ③ | トンネルあり | 右 | 1.81 | 15.999 | 2.252 |
| ④ | 〃 | 左 | 1.60 | 24.334 | 1.109 |

表-5 フェレニウス法による解析結果

| No | 位置 | 常時 or 地震時 | 備考 | 最小安全率 F _s | 円弧の半径 R(m) |
|----|----|-----------|----------------------|----------------------|------------|
| 1 | 右 | 地震時 | フェレニウス法 (Kh=0.10) | 1.48 | 23.0 |
| 2 | " | " | " (Kh=0.15) | 1.21 | 35.2 |
| 3 | " | " | " (Kh=0.20) | 1.00 | 35.2 |
| 4 | 左 | " | " (Kh=0.10) | 1.48 | 23.0 |
| 5 | " | " | " (Kh=0.15) | 1.22 | 27.0 |
| 6 | " | " | " (Kh=0.20) | 1.15 | 21.0 |
| 7 | 右 | " | " (トンネル入り) (Kh=0.10) | 1.90 | 15.0 |
| 8 | " | " | " (Kh=0.15) | 1.69 | 15.0 |
| 9 | " | " | " (Kh=0.20) | 1.51 | 15.0 |

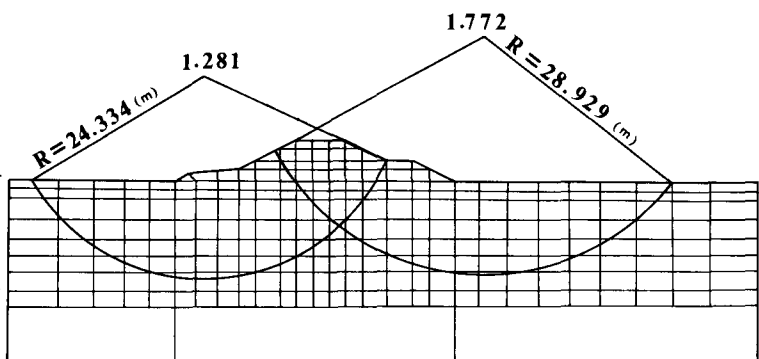


図-6 FEMを用いた円弧すべり計算結果(トンネルなし)

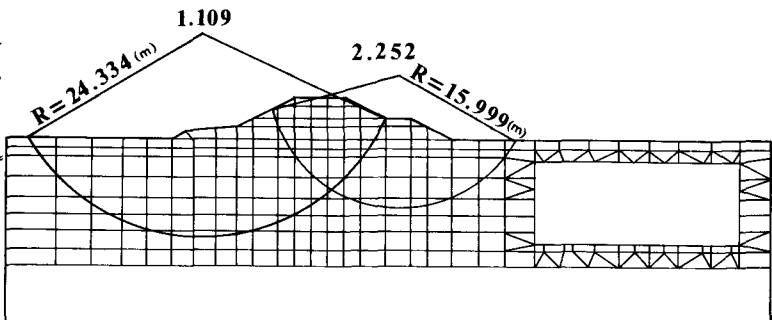


図-7 FEMを用いた円弧すべり計算結果(トンネルあり)